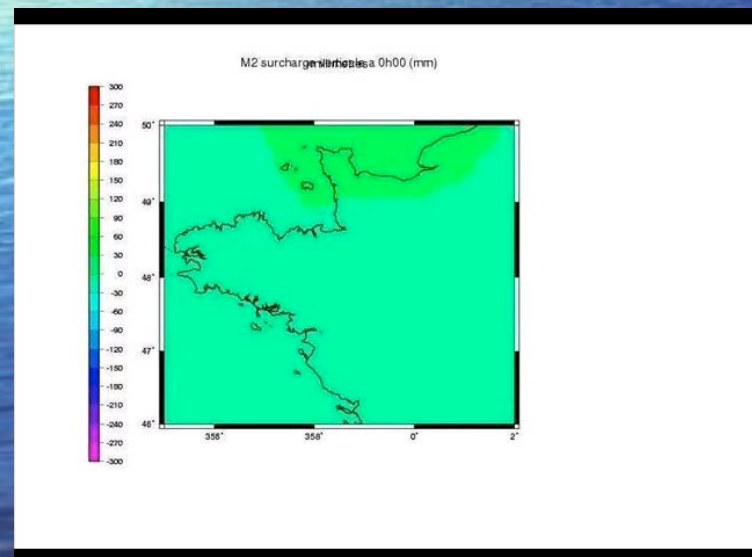


# « Analyse à haute fréquence du positionnement GPS de la campagne surcharge Bretagne; comparaisons aux modèles de marées »



S. A. Melachroinos (1), M. Vergnolle (2), M. Llubes (3),  
R. Biancale (1), F. Perosanz(1), J. Nicolas (4), L. Morel  
(4), S. Durand (4), F. Masson (5), M.-N. Bouin (6)

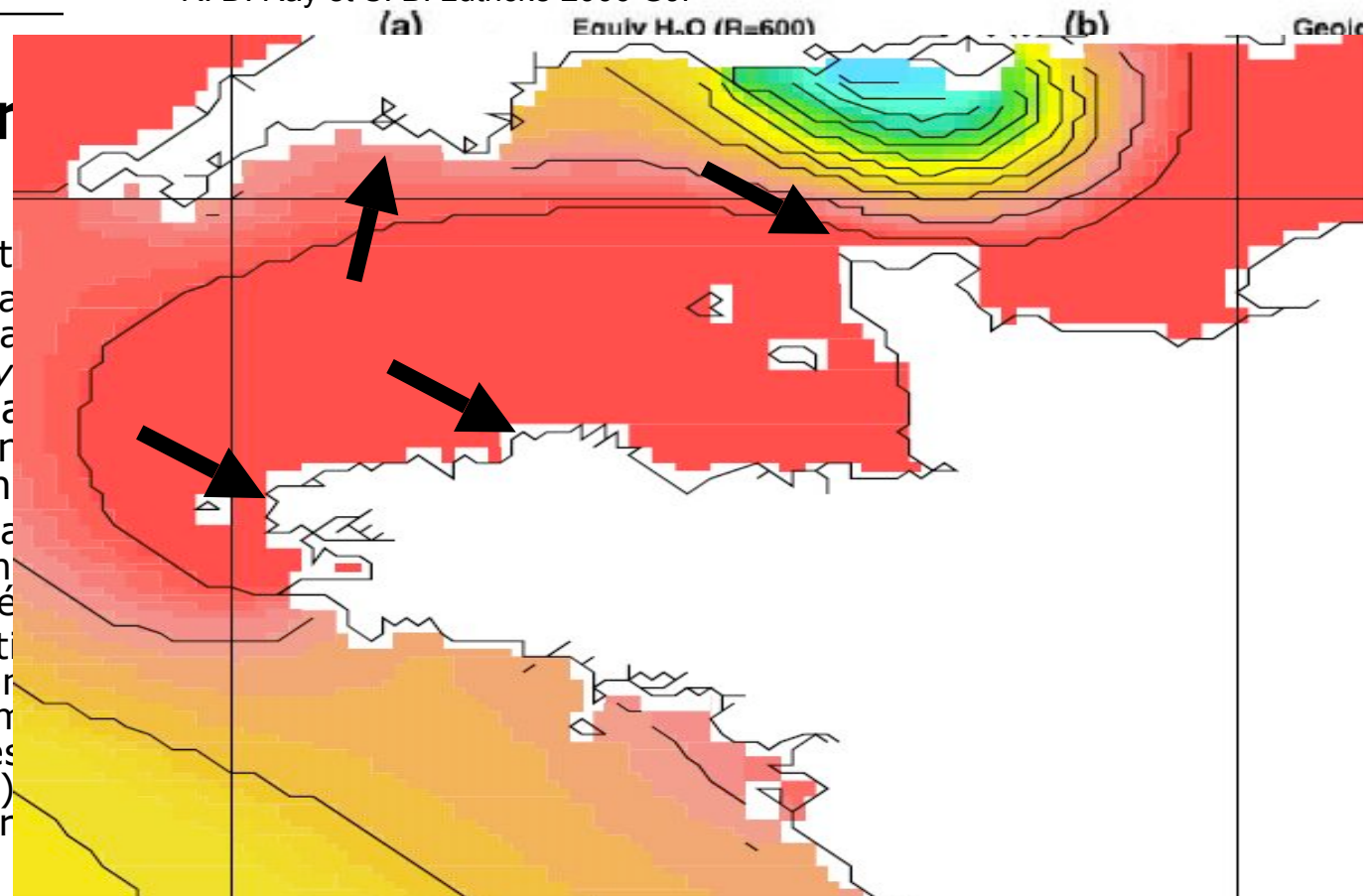
- (1) GRGS/DTP
- (2) LGT
- (3) GRGS/LEGOS
- (4) ESGT/L2G
- (5) IPG/Strasbourg
- (6) IGN/LAREG

# Introduction

R. D. Ray et S. B. Luthcke 2006 GJI

## Challenger

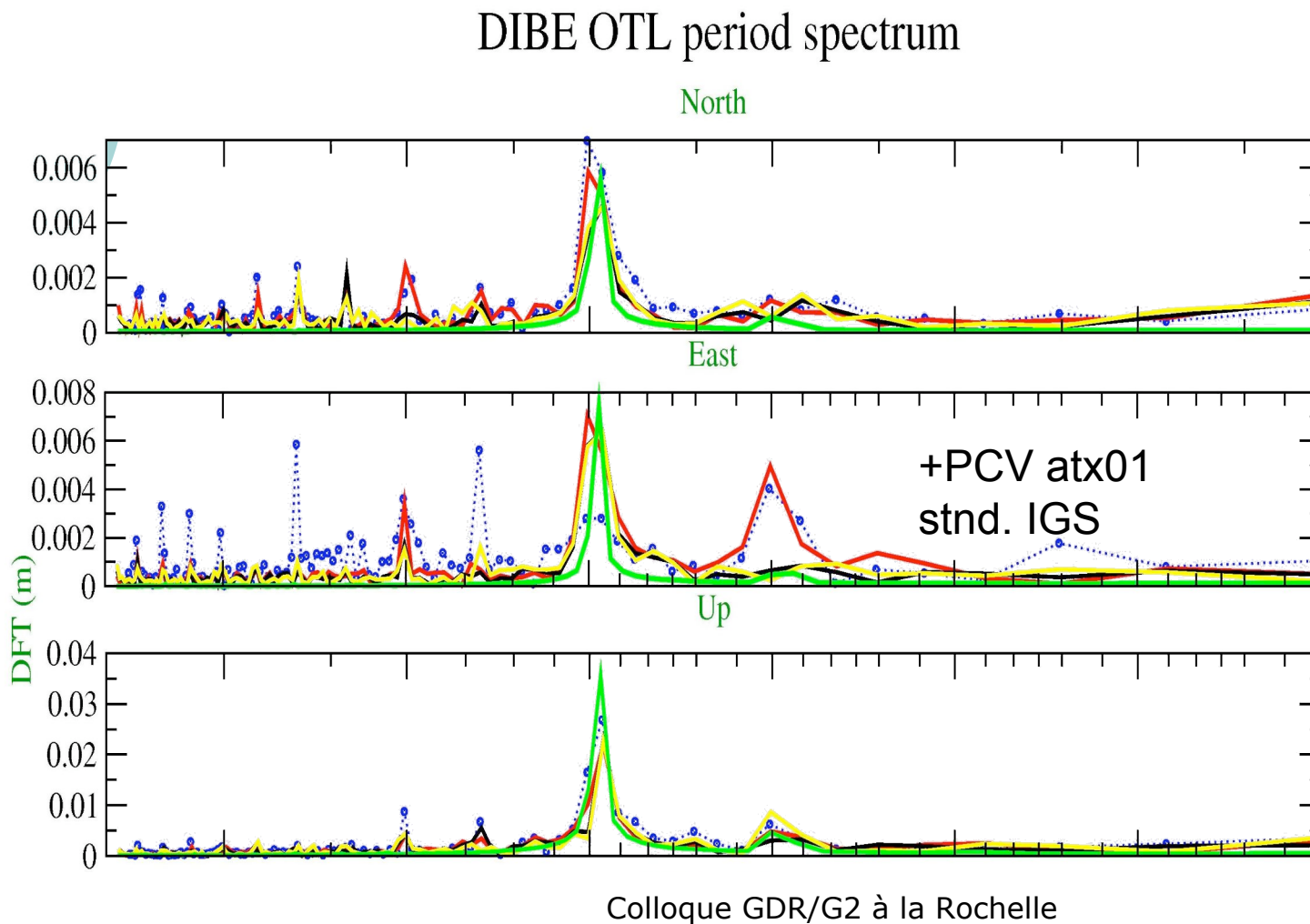
- γ La validation des modèles
- γ La signification physique des résultats des estimations de la gravité (R.D. Ray et al., 2006) globalement accélérée par l'effacement des déterminants locaux.
- γ Inconsistance entre les attractions gravitationnelles moins prédictives et moins réalisées dans les séries temporelles des traces des marées (~10mm).
- γ L'implication de la réévaluation des grilles des marées sur le zones côtières (thèse T. Letellier )
- γ Répeating orbits



Effets de la résolution des grilles des marées sur le zones côtières (thèse T. Letellier )

ve équivalente  
(b, d) are equivalent  
inches 14 cm

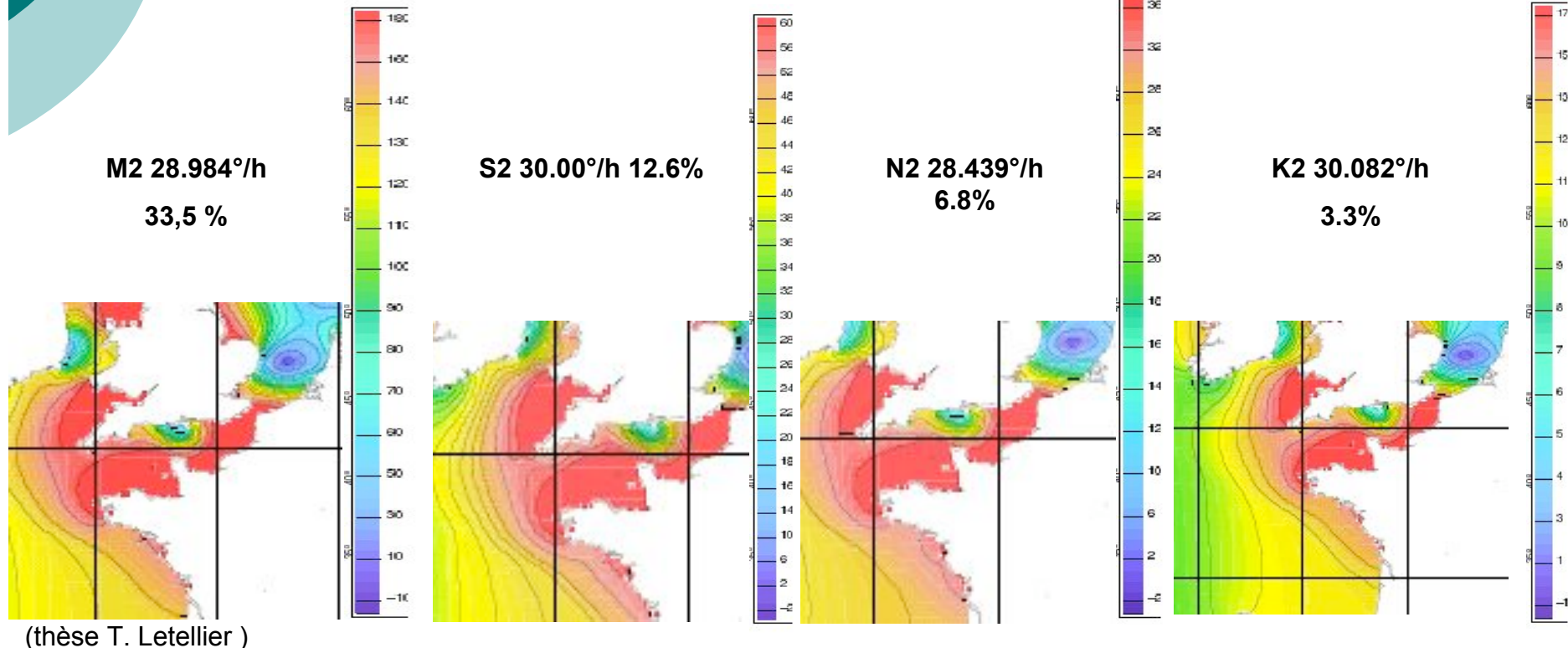
# Introduction



GINS/DYNAMO
Least Squares
Double difference (on 24 h)
1 h
Network resolution every hour
IERS standards
IGS orbits (fixed)
1 ZTD (1 h)
No gradient
Marini type MF
IERS2003 standards
IERS2003 standards
ECMWF (6 h)
10°
15 sites IGS + 5 French permanent stations
ITRF00 corrected for FES2004 predicted OTL
1 mm constraint applied to IGS stations Continuity constraints (1 cm / hr) to campaign and RGP stations

# Caractéristiques des marées

## Les ondes linéaires semi-diurnes



# Caractéristiques des marées

M2	Principal lunar semidiurnal constituent	M1	Smaller lunar elliptic diurnal constituent
S2	Principal solar semidiurnal constituent	J1	Smaller lunar elliptic diurnal constituent
N2	Larger lunar elliptic semidiurnal constituent	MM	Lunar monthly constituent
K1	Lunar diurnal constituent	SSA	Solar semiannual constituent
M4	Shallow water overtides of principal lunar constituent	SA	Solar annual constituent
O1	Lunar diurnal constituent	MSF	Lunisolar synodic fortnightly constituent
M6	Shallow water overtides of principal lunar constituent	MF	Lunisolar fortnightly constituent
MK3	Shallow water terdiurnal	RHO	Larger lunar evectional diurnal constituent
S4	Shallow water overtides of principal solar constituent	Q1	Larger lunar elliptic diurnal constituent
MN4	Shallow water quarter diurnal constituent	T2	Larger solar elliptic constituent
NU2	Larger lunar evectional constituent	R2	Smaller solar elliptic constituent
S6	Shallow water overtides of principal solar constituent	2Q1	Larger elliptic diurnal
MU2	Variational constituent	P1	Solar diurnal constituent
2N2	Lunar elliptical semidiurnal second-order constituent	2SM2	Shallow water semidiurnal constituent
OO1	Lunar diurnal	M3	Lunar terdiurnal constituent
LAM2	Smaller lunar evectional constituent	L2	Smaller lunar elliptic semidiurnal constituent
S1	Solar diurnal constituent	2MK3	Shallow water terdiurnal constituent
		K2	Lunisolar semidiurnal constituent
		M8	Shallow water eighth diurnal constituent
		MS4	Shallow water quarter diurnal constituent

# La surcharge Océanique (OTL)

## La surcharge océanique

Connaissant les fonctions de Green associées à une surcharge ponctuelle unité, l'effet d'une charge répartie à la surface sera obtenu en calculant l'intégrale de convolution de la fonction de Green et de la fonction de répartition de la masse.

$$I(\varphi, \lambda) = \rho_\omega \int_0^\pi d\varphi' \int_0^{2\pi} \alpha^2 G(\lambda, \varphi; \lambda', \varphi') A(\lambda', \varphi') d\lambda' \cos \varphi'$$

Nombres LLNs

Modèle de Terre

Grille des marées ,

**FES2004** –  $0.125 \times 0.125^\circ$ ; T/P, ERS

**TPXO7.0** –  $0.25 \times 0.25^\circ$ ; Assimilates T/P + Jason,

ERS (M2 & O1), TG

**CSR4** –  $0.5 \times 0.5^\circ$ ; T/P

**GOT00.2** -  $0.5 \times 0.5^\circ$ ; T/P, ERS

**NAO.99b** -  $0.5 \times 0.5^\circ$ ; T/P .....

Décomposées en 2 termes sin et cos

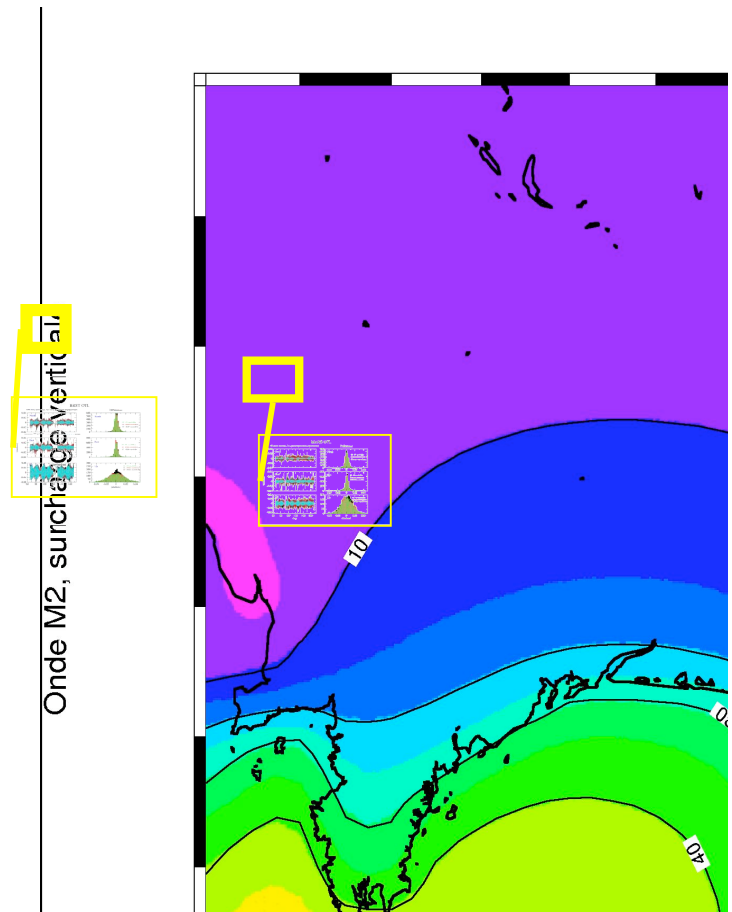
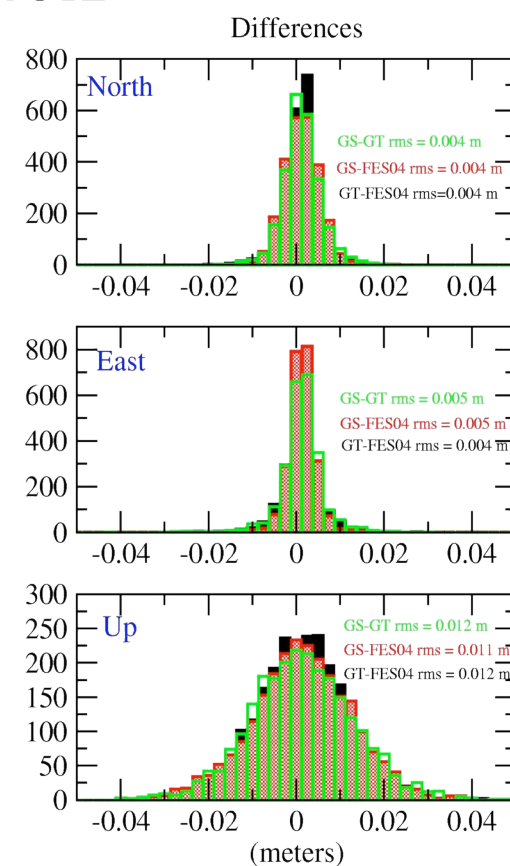
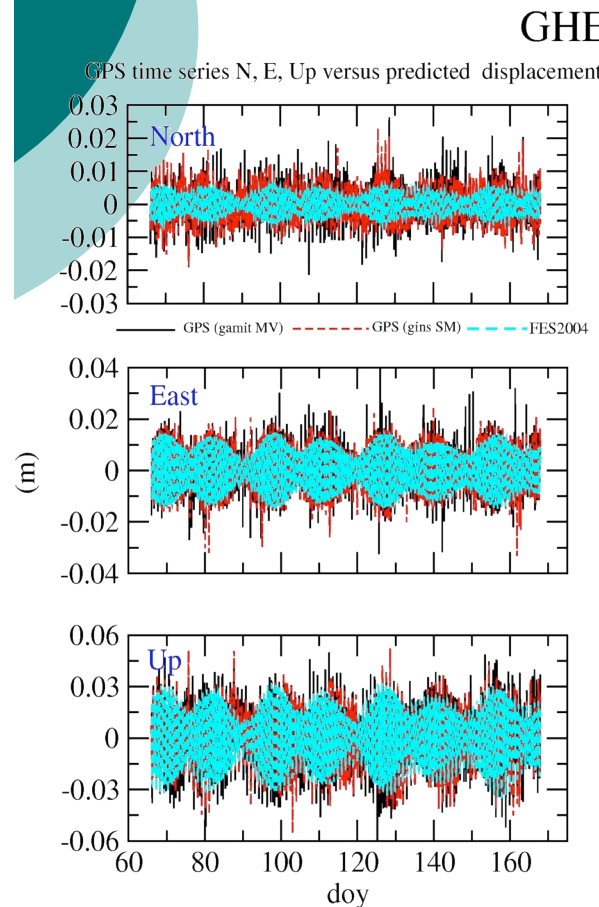
# Les observations GPS de la campagne Bretagne

---

- γ 110 jour des données sur 12 stations temporaires (au dessus du *critère de Rayleigh* pour la séparation des ondes les plus proches)
- γ Réseaux des stations Brotons+RGP+IGS à l'échelle continentale (régional)
- γ Estimation des positions des stations et paramètres troposphériques / hr
- γ Utilisation des logiciels GINS (SM), BERNESE (SD), GIPSY (LM), GAMIT (MN, MV) I

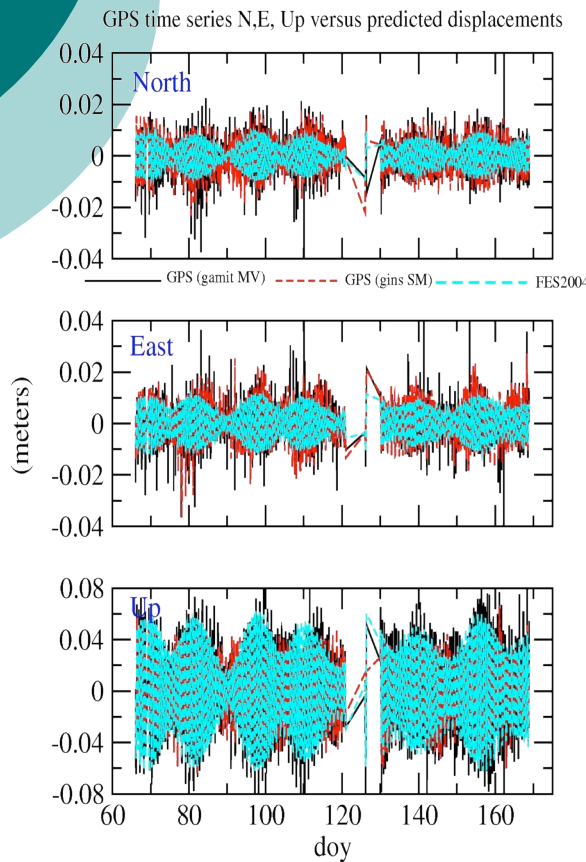
$$T = 1/(\omega_1 - \omega_2)$$

# Les différences au modèle FES04 et entre logiciels [sol. GINS (SM) – GAMIT (MV)]

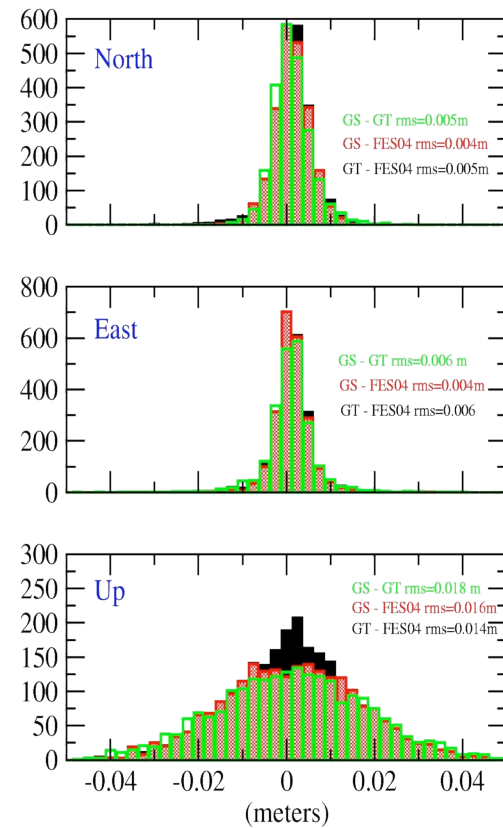


# Les différences au modèle FES04 et entre logiciels [sol. GINS (SM) – GAMIT (MV)]

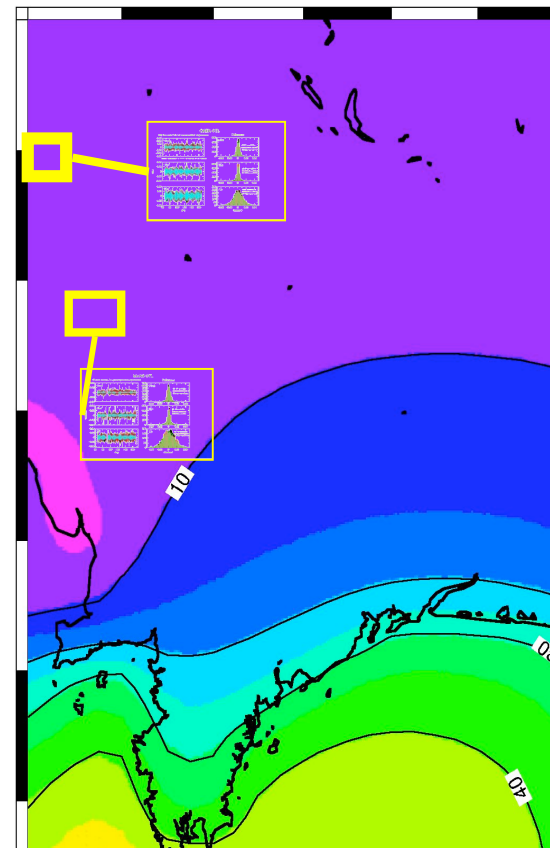
BRST OTL



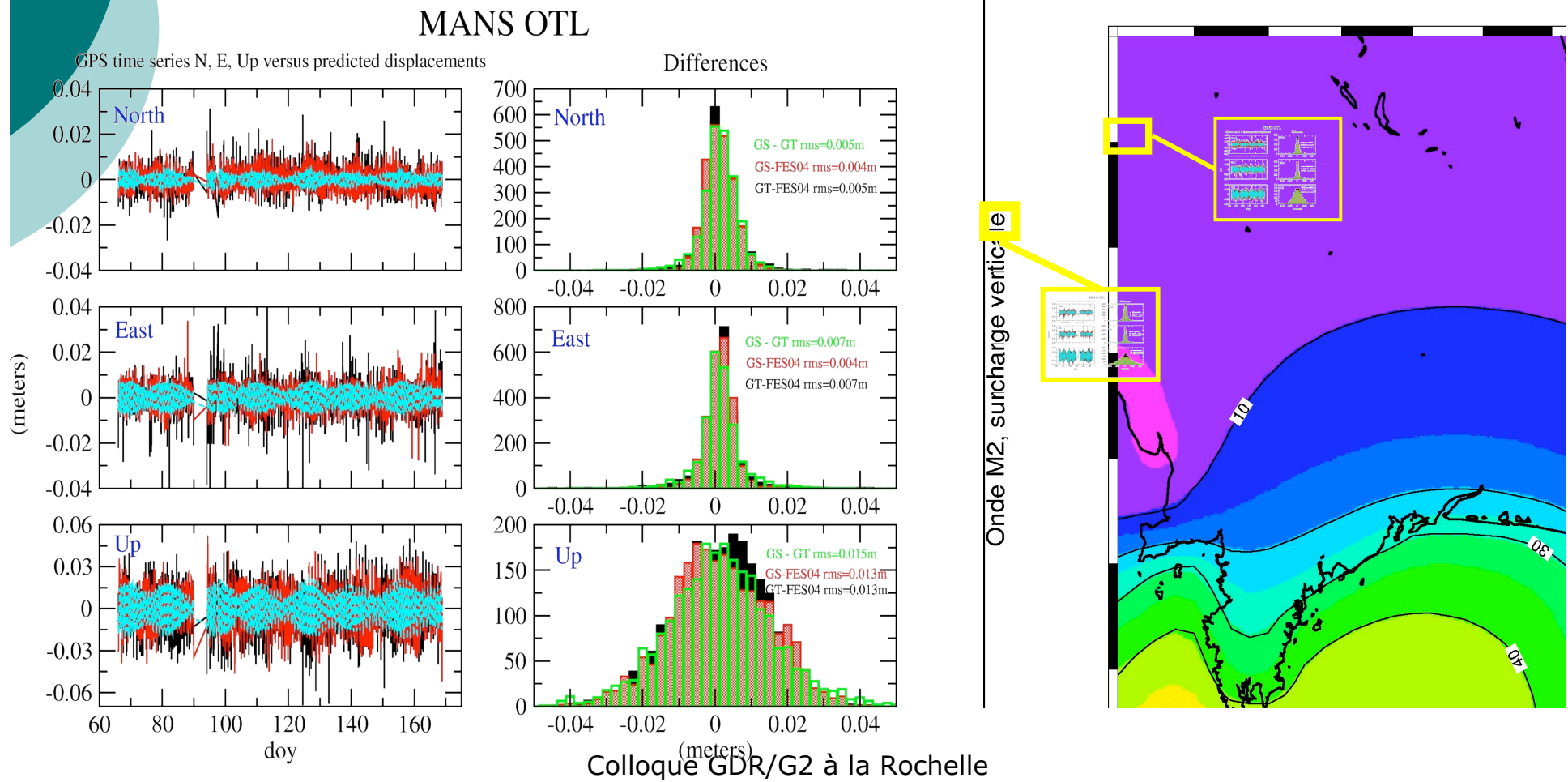
Differences



Onde M2, surcharge verticale



# Les différences au modèle FES04 et entre logiciels [sol. GINS (SM) – GAMIT (MV)]



# Les différences au modèle FES04 et entre logiciels [sol. GINS (SM) – GAMIT (MV)]

Corrélation en Hauteur

Site	FES04/ GINS	FES04 / GMT	GINS / GMT
BRST	0,85	0,91	0,86
CHER	0,73	0,79	0,73
COUT	0,74	0,83	0,76
DIBE	0,85	0,92	0,86
MANS	0,41	0,55	0,46
PAIM	0,87	0,92	0,86
RENN	-	0,78	-
TREV	0,83	0,90	0,82
YGEA	0,76	0,89	0,77

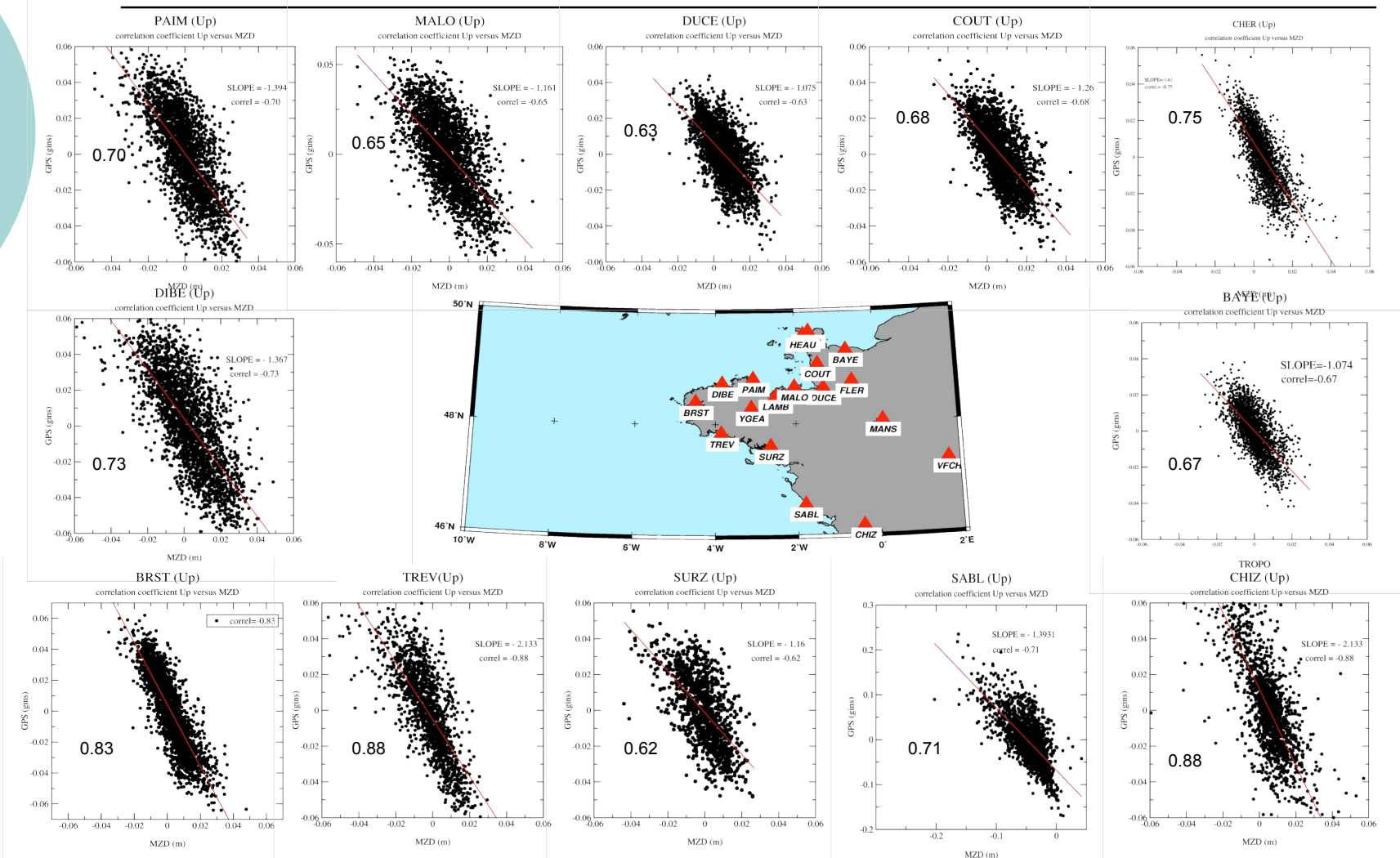
Corrélation en Est

Site	FES04/ GINS	FES04 / GMT	GINS / GMT
BRST	0,82	0,67	0,65
CHER	0,90	0,80	0,79
COUT	0,88	0,81	0,77
DIBE	0,83	0,72	0,69
MANS	0,66	0,53	0,45
PAIM	0,84	0,72	0,70
RENN	-	0,65	-
TREV	0,82	0,69	0,66
YGEA	0,75	0,72	0,60

Corrélation en Nord

Site	FES04 / GINS	FES04 / GMT	GINS / GMT
BRST	0,73	0,69	0,71
CHER	0,54	0,62	0,66
COUT	0,59	0,65	0,65
DIBE	0,78	0,75	0,79
MANS	0,41	0,48	0,54
PAIM	0,80	0,74	0,77
RENN	-	0,67	-
TREV	0,78	0,76	0,73
YGEA	0,76	0,75	0,73

# La correlation troposphérique



# Analyse à haute fréquence

---

- Y Ajustement des amplitudes des fonctions cos et sin avec des fréquences stables pour les ondes  
K1,O1,S1,N2,M2,S2,K2,SK3,M4

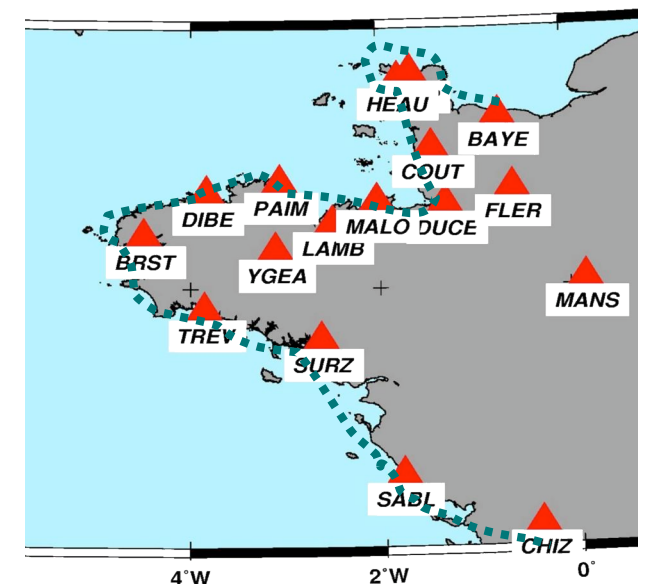
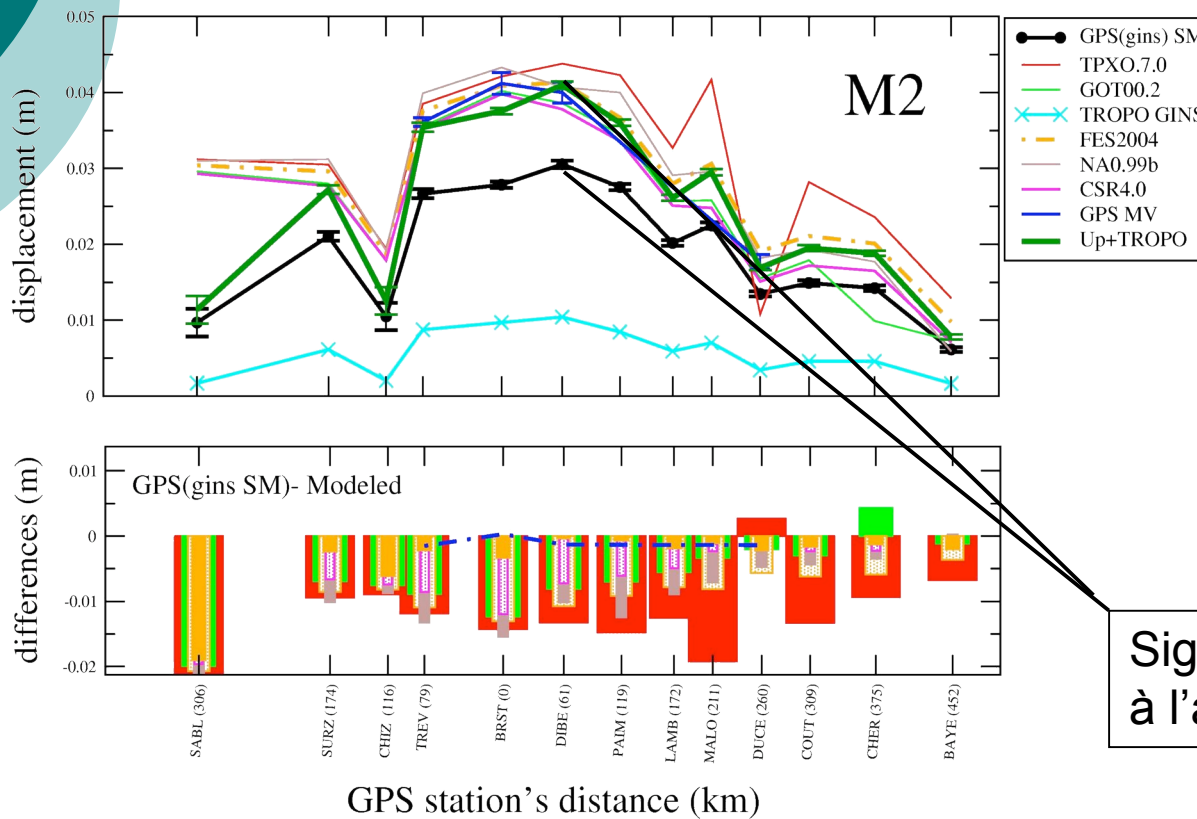
$$\sum_{n=0}^N \left[ y_n - \sum_{l=1}^L (A_l \cos(2\pi f_l t_n) + B_l \sin(2\pi f_l t_n)) \right]^2$$

- Y Comparaisons des amplitudes au long des côtes par rapport au différents modèles de surcharge

# Analyse à haute fréquence

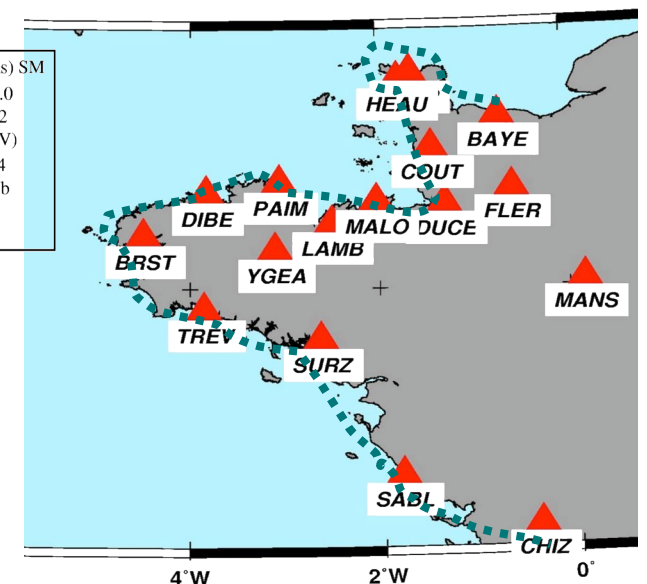
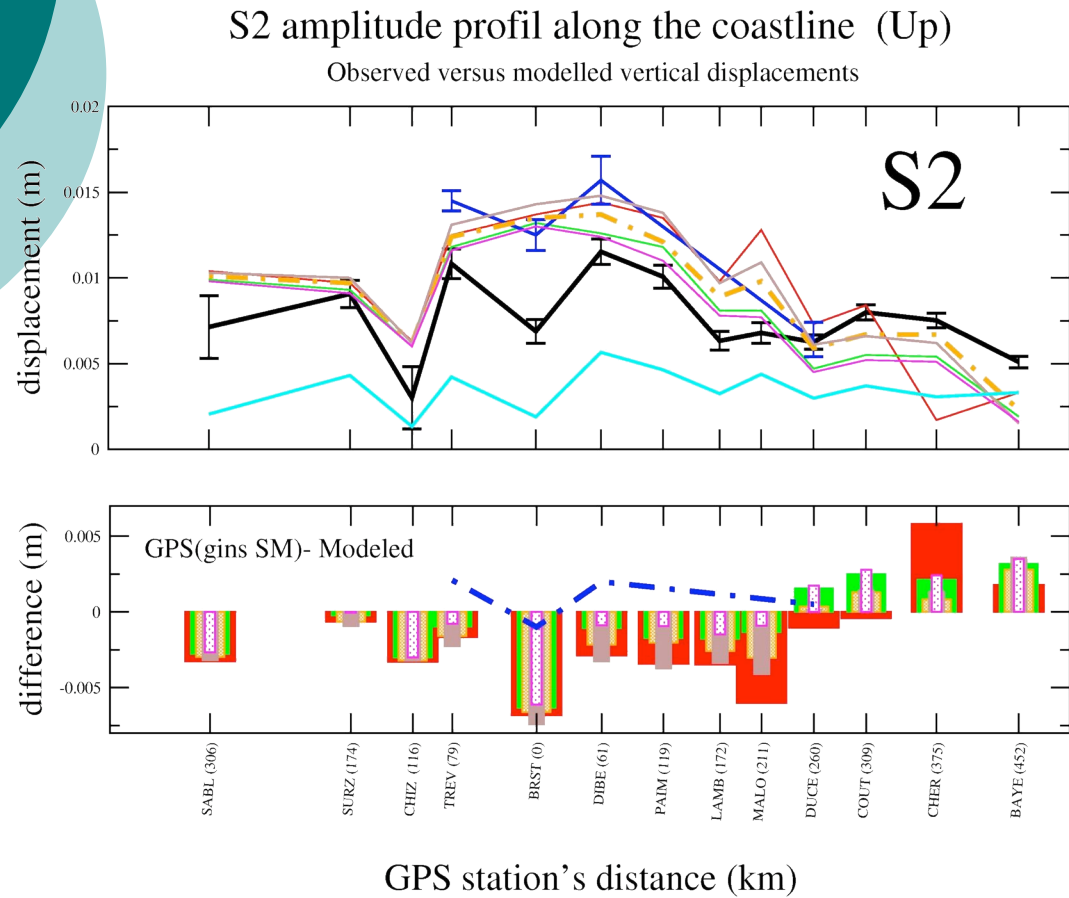
M2 amplitude profil along the coastline (Up)

Observed versus modelled vertical displacements



Signal absorbé proportionnel  
à l'amplitude de surcharge

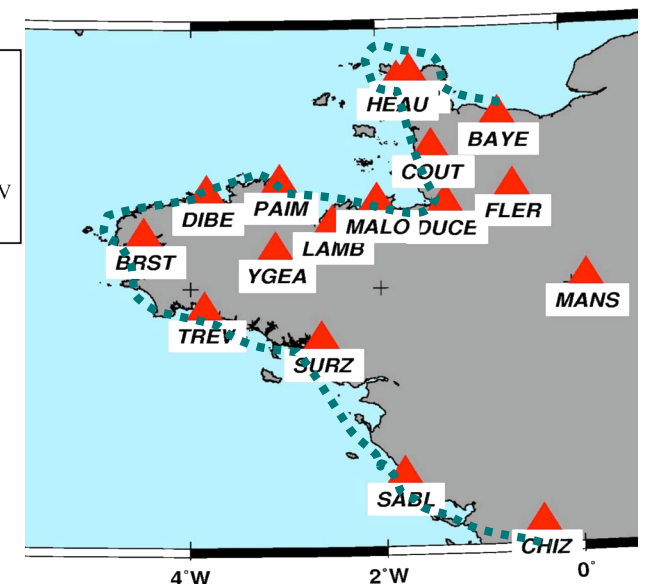
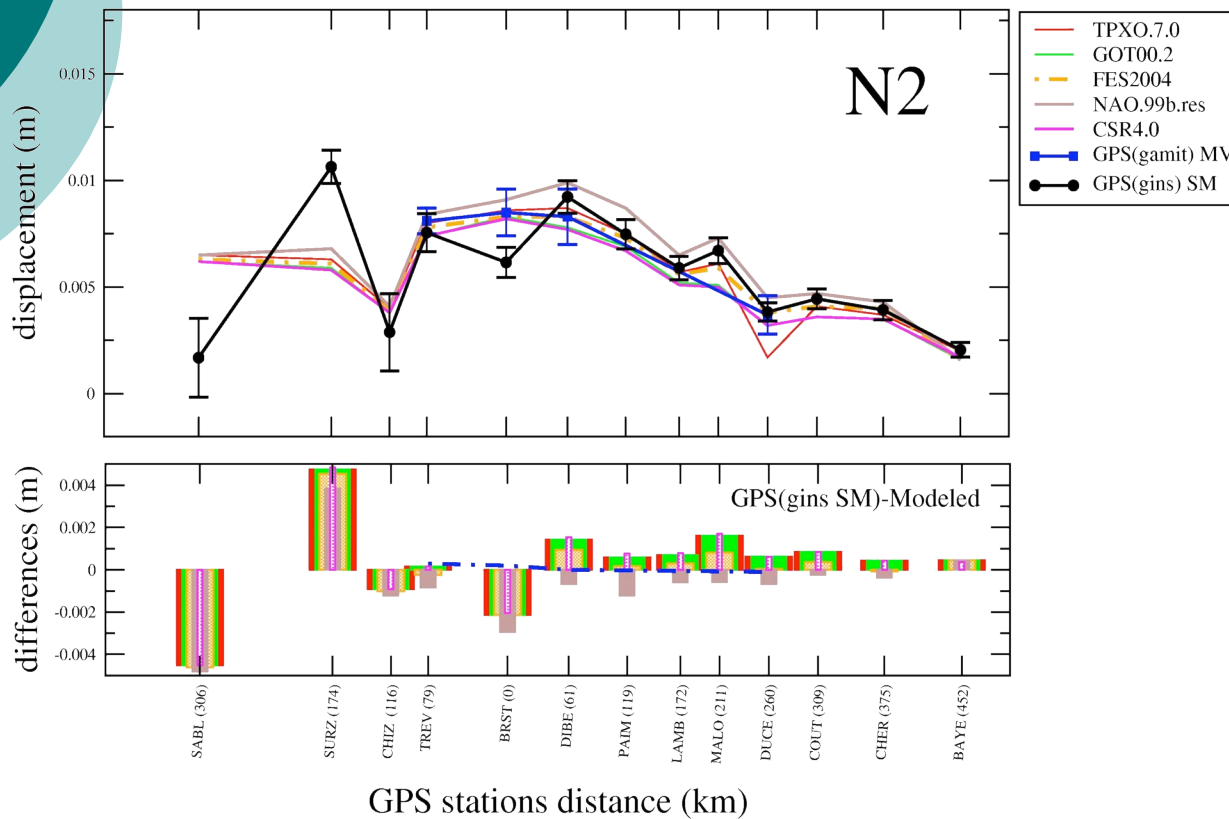
# Analyse à haute fréquence



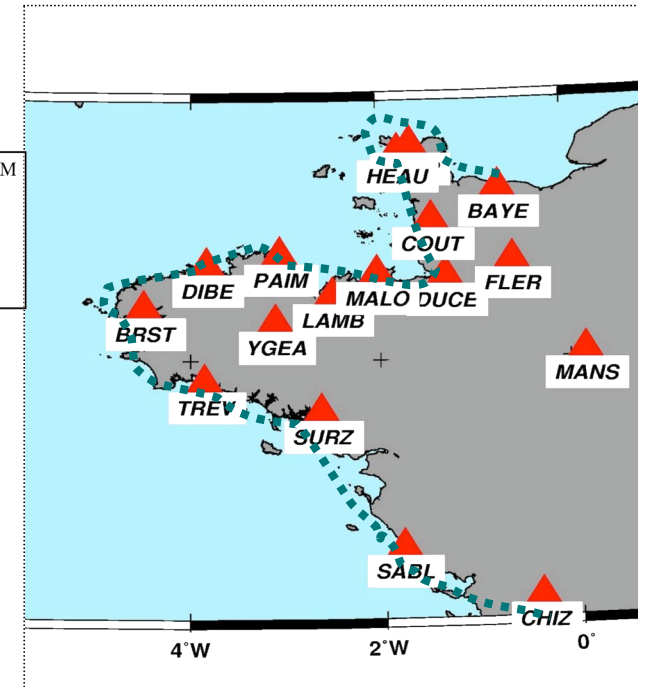
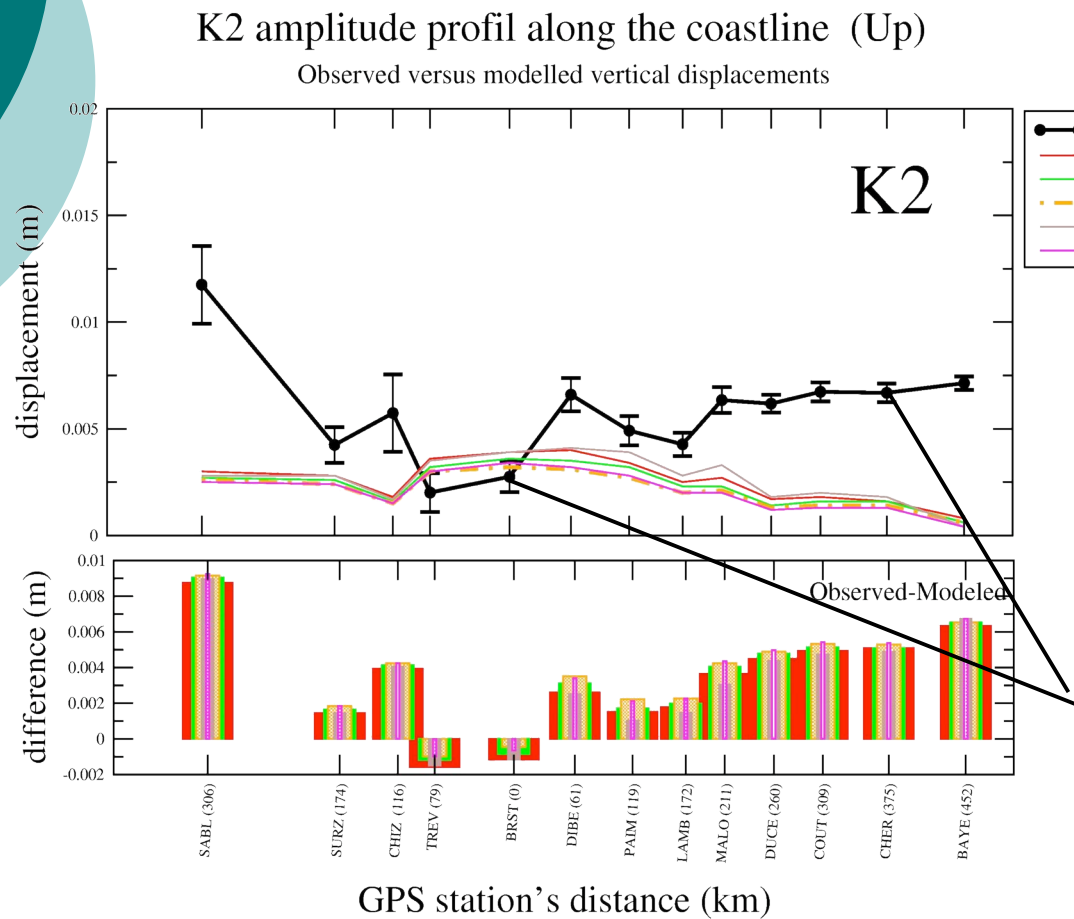
# Analyse à haute fréquence

N2 amplitude profil along the coastline (Up)

Observed versus modelled vertical displacements



# Analyse à haute fréquence

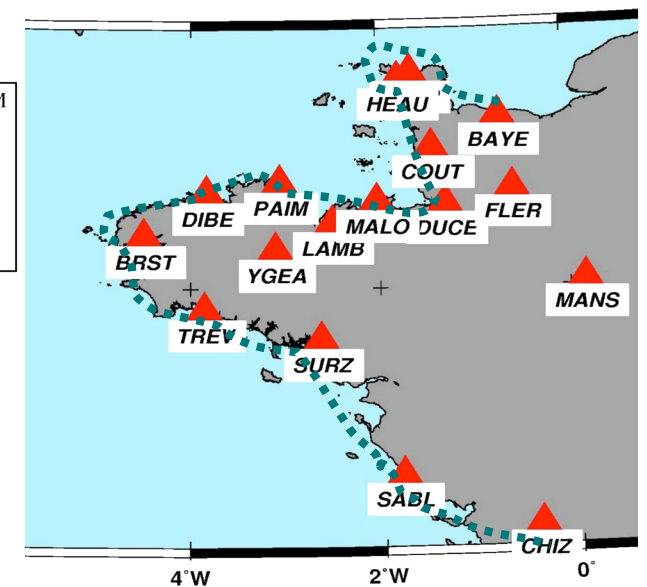
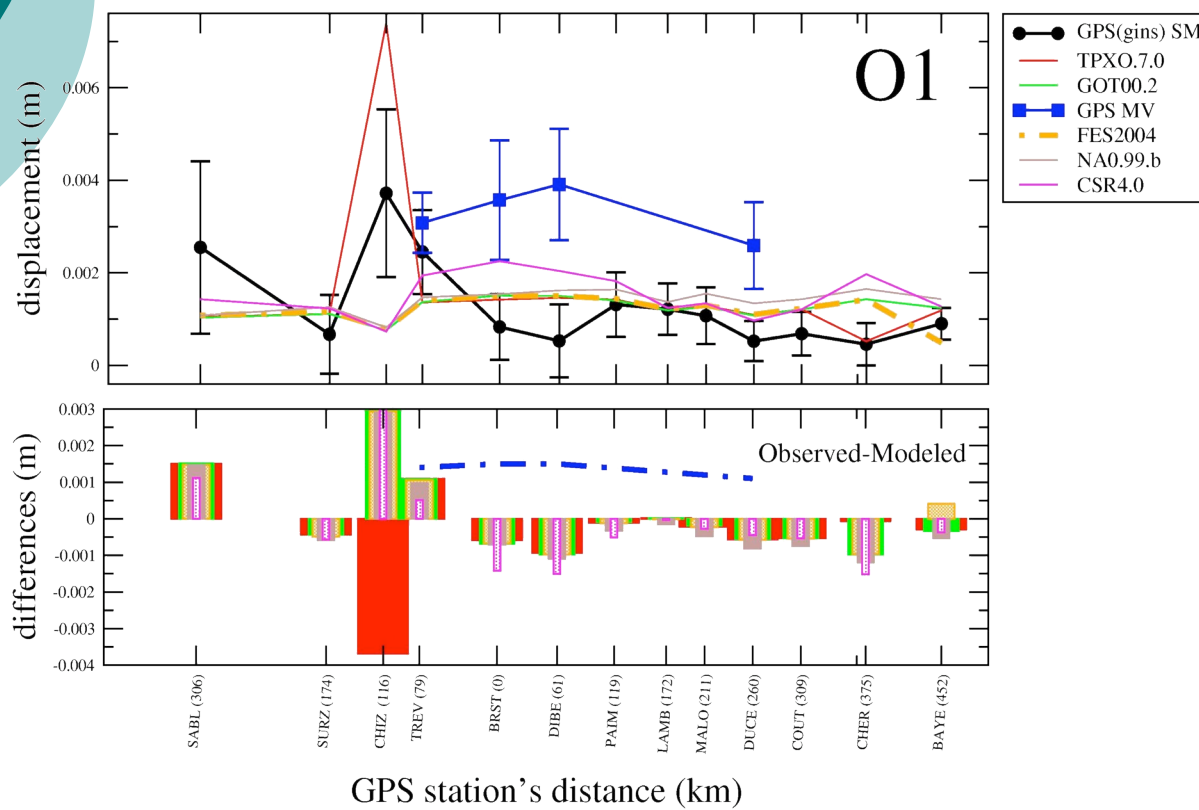


Faible stabilité de la  
séparation aux amplitudes  
faibles

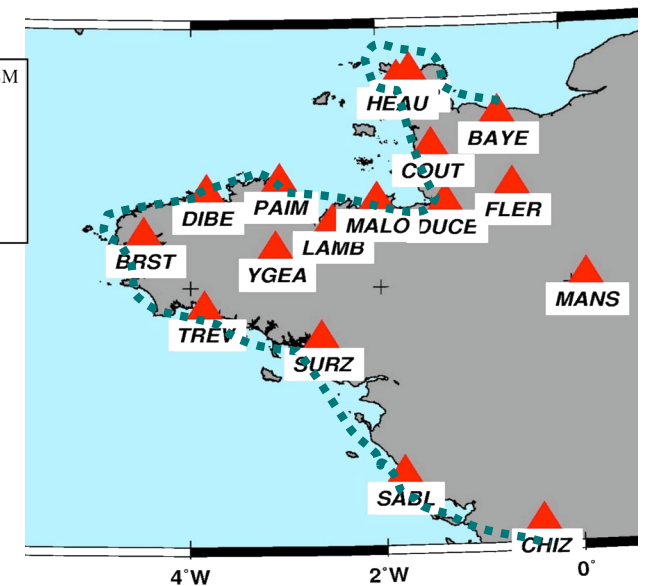
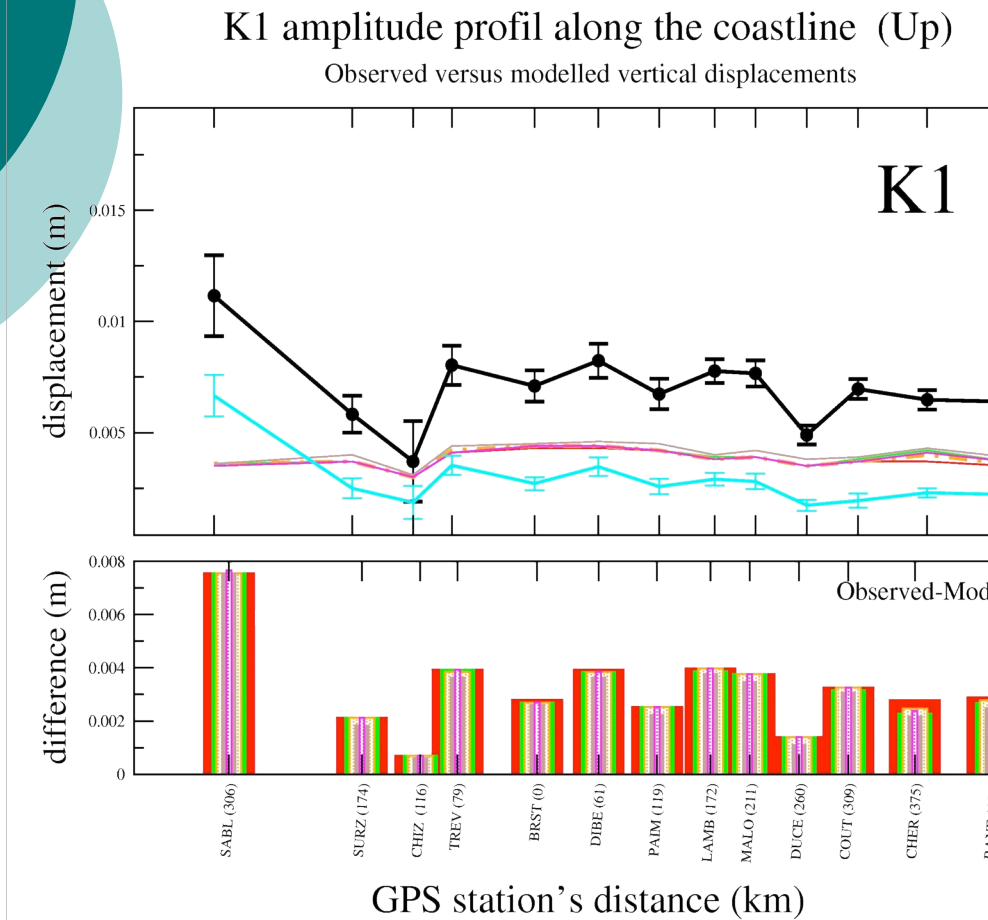
# Analyse à haute fréquence

O1 amplitude profil along the coastline (Up)

Observed versus modelled vertical displacements



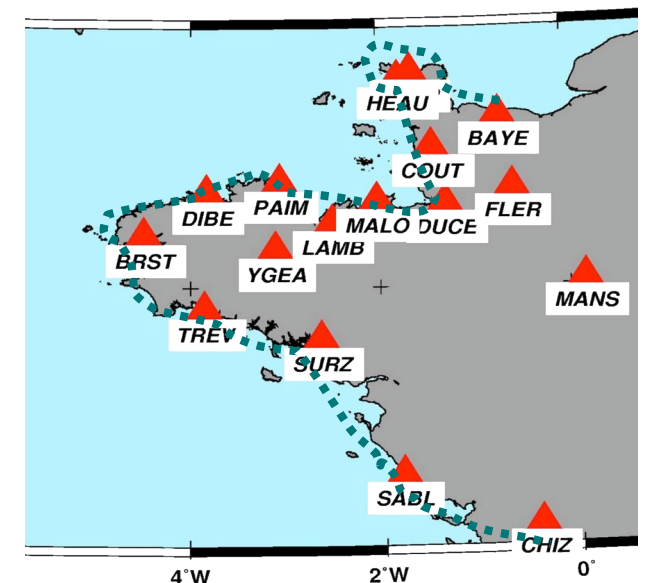
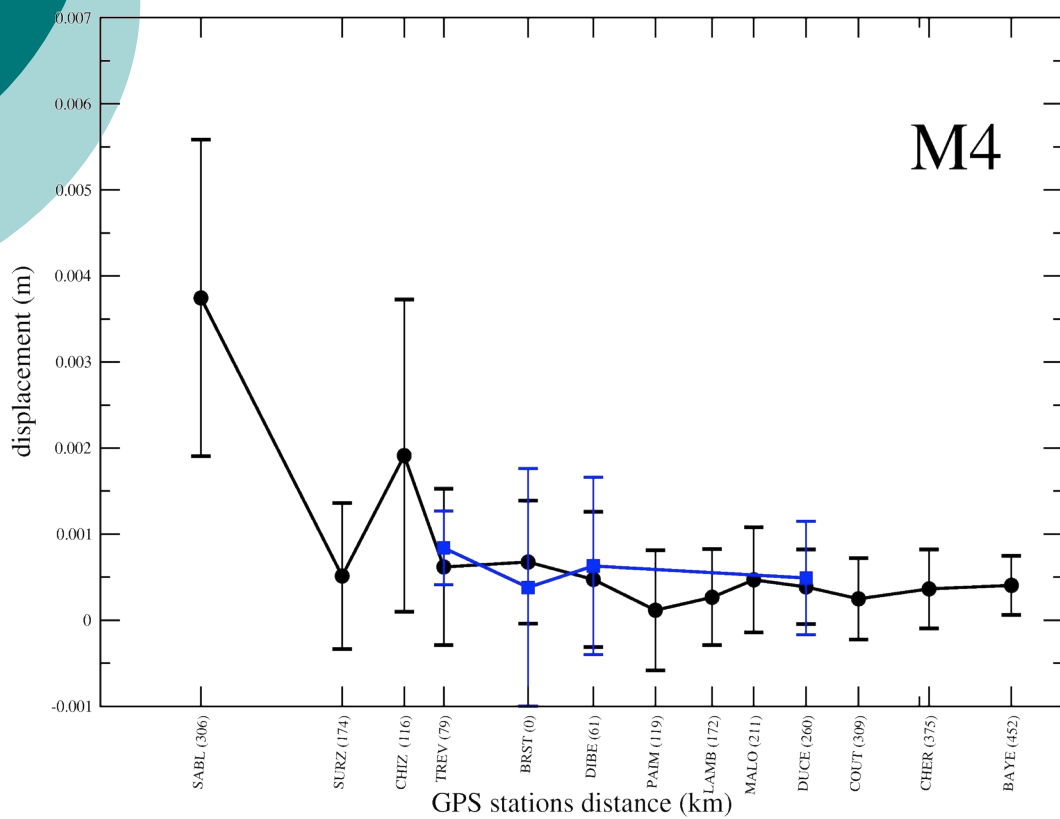
# Analyse à haute fréquence



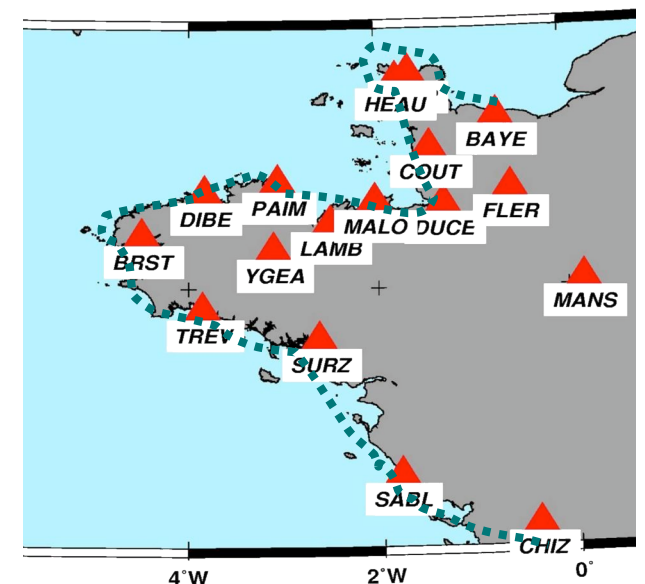
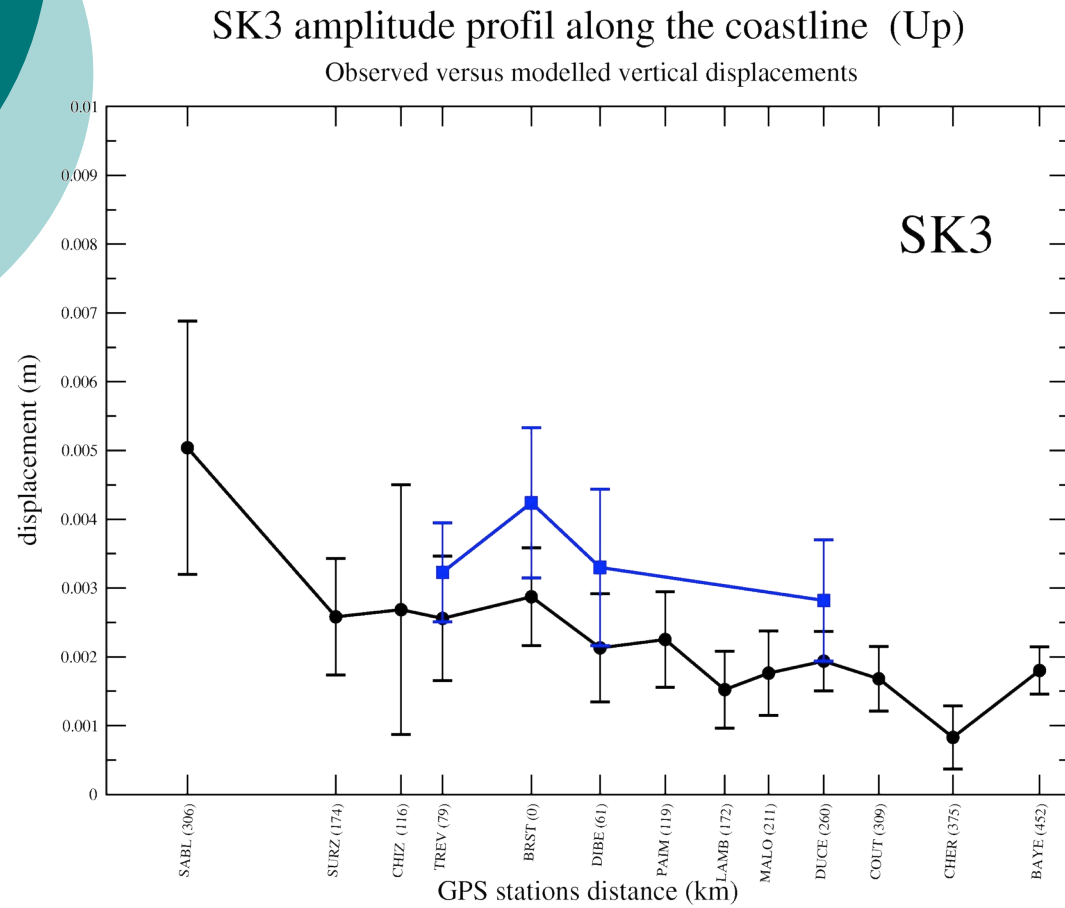
# Analyse à haute fréquence

M4 amplitude profil along the coastline (Up)

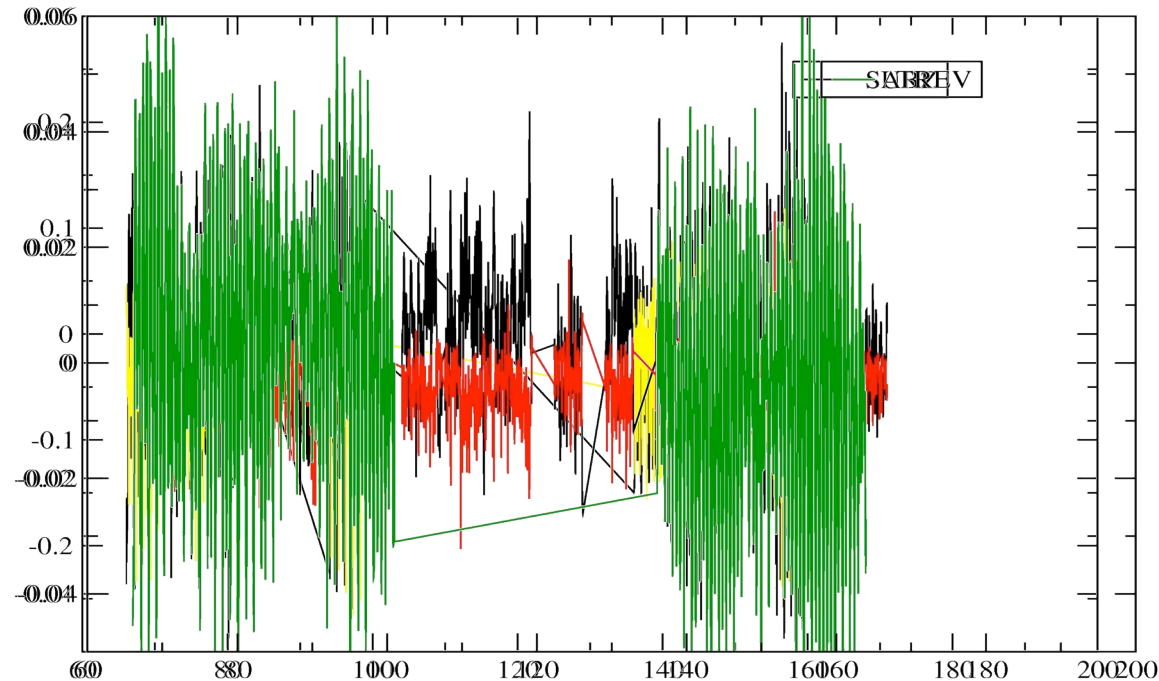
Observed versus modelled vertical displacements



# Analyse à haute fréquence

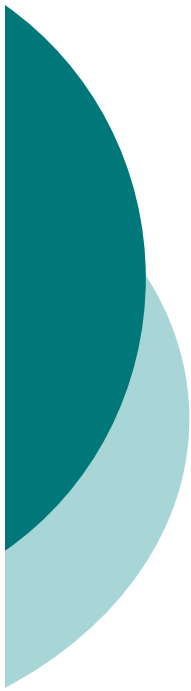


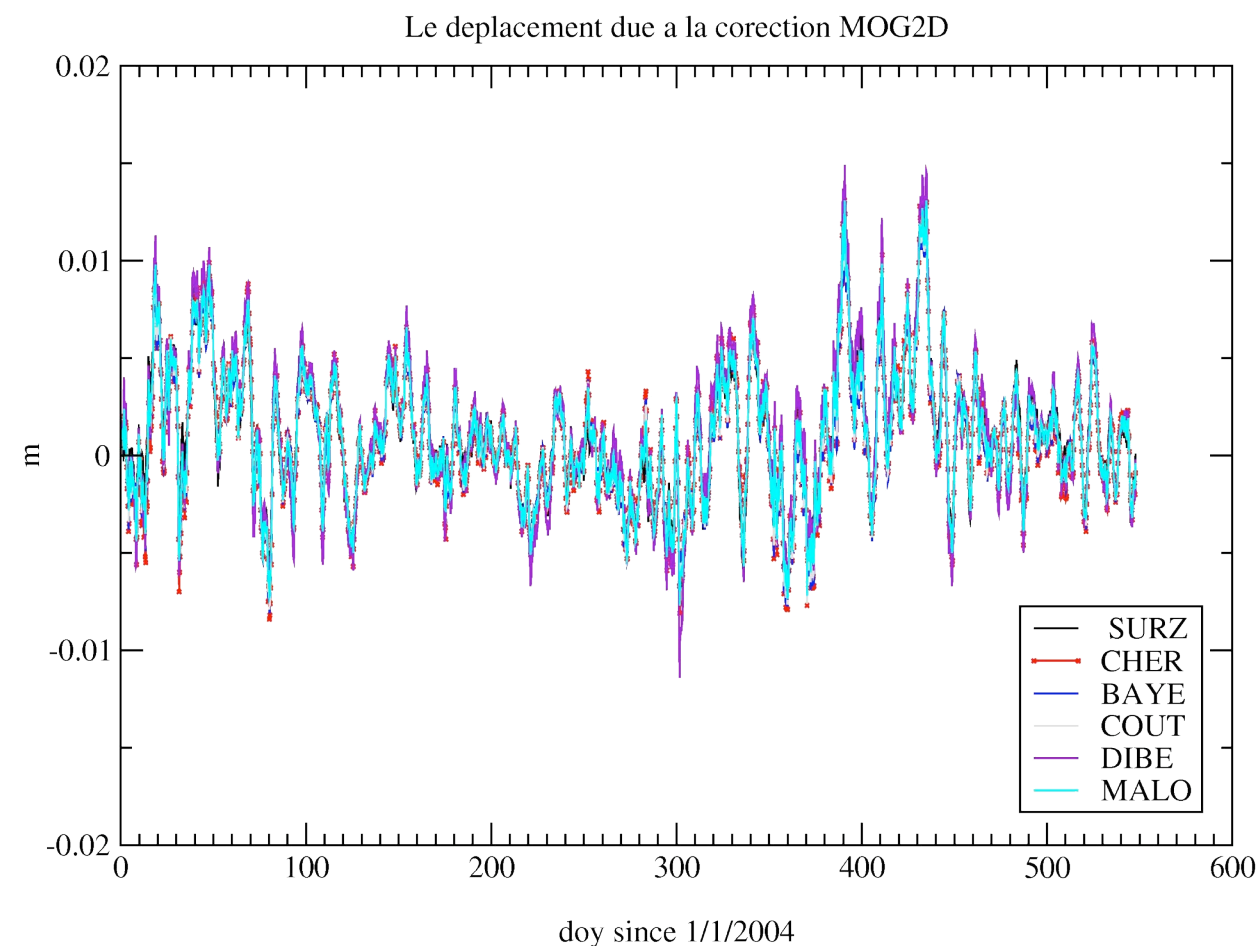
# Analyse à haute fréquence



# Conclusions / Perspectives

---

- 
- Y La précision actuelle des obs. GPS nous permet d'analyser les phénomènes de surcharge océanique et valider les modèles actuelles ;
  - Y Le temps d'observation de ~110 jours n'est pas suffisant pour la séparation des ondes le plus proches comme : P1 de K1, K2 de S2 , S2 de T2, S3 de SP3 et SK3. Des observations d'un an et plus seront nécessaires;
  - Y Les différences entre modèles et observations GPS ne sont pas négligeables;
  - Y Dans tous les cas il existe un rapport entre période d'observation nécessaire pour la séparation d'ondes et amplitude d'onde en question ;
  - Y L'ampleur d'impact des artefacts issues de l'absorption du signal (principalement en vertical) sur le paramètres troposphériques dépend aussi de l'amplitude de surcharge sur la station;
  - Y Les impacts des artefacts sur les solutions issues des différents logiciels ne sont pas toujours les mêmes;
  - Y La comparaison du modèle issue des traitements GPS doivent être complétées au niveau des phases pour chaque onde;
  - Y Un modelé régional de surcharge océanique à partir de résultats GPS peut être utilisé pour contraindre une solution régionale d'un modèle quelconque et restituer les nombres de Love de déformation **local!!! (utilisation des futures réseaux permanents denses = TERRIA)**



Merci pour votre attention .....  
Des questions? .....

